



Technische Universität München

Chair of Media Technology

Prof. Dr.-Ing. Eckehard Steinbach

Bachelor Thesis

Refined Methods for Creating Realistic Haptic Virtual
Textures from Recorded Acceleration Data

Author:	Irem Öztürk
Matriculation Number:	03677343
Address:	Helene-Mayer-Ring 7A 80809 München
Advisor:	Matti Strese
Begin:	Datum des Arbeitsbeginns
End:	Datum des Vortrags

With my signature below, I assert that the work in this thesis has been composed by myself independently and no source materials or aids other than those mentioned in the thesis have been used.

München, September 4, 2018

Place, Date

Signature

This work is licensed under the Creative Commons Attribution 3.0 Germany License. To view a copy of the license, visit <http://creativecommons.org/licenses/by/3.0/de>

Or

Send a letter to Creative Commons, 171 Second Street, Suite 300, San Francisco, California 94105, USA.

München, September 4, 2018

Place, Date

Signature

Kurzfassung

In der Kurzfassung werden auf einer halben Seite das Problemfeld und die präsentierten Ergebnisse zusammengefasst.

Abstract

Titel auf Englisch wiederholen.

Es folgt die englische Version der Kurzfassung.

Contents

Contents	iii
1 Introduction	1
2 Microscopic Roughness	2
2.1 Methods for Interpolating Audio Signals	2
2.1.1 Linear Predictive Coding	2
2.1.2 Signal Generation from Major Frequencies	4
2.2 Beispiel für eine Abbildung	4
2.3 Beispiele für Referenzen	4
2.4 Schrifttypen	5
2.5 Archivierung	6
3 Zusammenfassung	7
A Ein Beispiel für einen Anhang	8
List of Figures	9
List of Tables	10
Bibliography	11

Chapter 1

Introduction

Die Einleitung soll zum eigentlichen Themengebiet hinführen und die Motivation für die Arbeit liefern. Am Schluß der Einleitung wird weiterhin noch eine Übersicht über die restliche Arbeit gegeben.

Chapter 2

Microscopic Roughness

girizgah

To provide a more efficient and robust method of building haptic texture models from tool-surface interaction data...

2.1 Methods for Interpolating Audio Signals

Interpolate audio signals for different velocities.

There are methods: lpc and major frequency.

2.1.1 Linear Predictive Coding

The basic idea of Linear Predictive Coding (LPC) is to develop a transfer function that can predict each sample of a signal as a linear combination of the previous samples. It has applications in filter design and speech coding.

We consider an IIR filter $H(z)$ of length n in the form $H(z) = [-h_1z^{-2} - h_2z^{-1} \dots - h_nz^{-n}]$. Our acceleration data vector from PCA is called $\vec{a}(k)$ in the following. The resulting prediction vector from our filter is $\vec{\hat{a}}(k)$. The residual signal $\vec{e}(k)$ is the difference between these two signals. The transfer function $P(z)$ is the result of the following equation:

$$\frac{\vec{e}(k)}{\vec{a}(k)} = 1 - H(z) = P(z) \quad (2.1)$$

It is possible to compute the residual at each step using the vector of filter coefficients $\vec{h} = [h_1 h_2 h_3 \dots h_n]^T$:

$$\vec{e}(k) = a(k) - \hat{a}(k) = a(k) - \vec{h}^T \vec{a}(k-1) \quad (2.2)$$

At this step, we aim to find the minimum value of the residual function $e(k)$. We are able to reduce the problem to Wiener-Hopf equation by a cost function based on mean-square error. The Wiener-Hopf equation can be solved by Levinson-Durbin [Dur60] algorithm, so that we can obtain our optimal filter vector \vec{h}_0 .

To synthesize new signals, we use a white noise signal $\vec{e}_g(l)$ as input, which is filtered with $1/P(z)$, in order to generate our desired response $\vec{a}_g(l)$. For a better overview, we can rewrite the equations (2.1) and (2.2) as follows:

$$\frac{\vec{a}_g(l)}{\vec{e}_g(l)} = \frac{1}{1 - H(z)} = \frac{1}{P(z)} \quad (2.3)$$

$$a_g(l) = e_g(l) + \vec{h}^T \vec{a}_g(l-1) \quad (2.4)$$

The value $\vec{e}_g(l)$ is a randomly generated Gaussian white noise but its average signal power must be equal to that of the average signal power remaining in the residual, $P\{\vec{e}(k)\}$ after filter optimization.

The definition of power is as in the following equation:

$$P\{\vec{a}(l)\} = \frac{1}{N} \sum_{n=0}^{N-1} |a(n)|^2 \quad (2.5)$$

This is equivalent to signal variance σ^2 , because our signals are zero-mean signals. Now, we have to determine the order of our prediction filter, which affect the accuracy of the prediction. The higher we choose the order, the smaller the residual gets. It means we have a better prediction with higher orders, but then the calculation gets more complicated. It is possible to calculate the success of the synthetic result with a cost function defined as the RMS error as follows [JMRK10]:

$$C\{\vec{a}_g(l)\} = \frac{RMS(DFT_s\{\vec{a}(l)\} - DFT_s\{\vec{\hat{a}}_g(l)\})}{RMS(DFT_s\{\vec{a}(l)\})} \quad (2.6)$$

Using this equation, where $DFT_s\{\vec{a}\}$ represents the discrete Fourier transform of vector \vec{a} , it is possible to obtain the optimal order of the filter. In our case we choose $length(\vec{a}(l)) - 1$ as the order for the best quality of results.

Now that we have generated our prediction filter with two unique variables \vec{h} vector and $e_g(l)$, it comes to interpolate between our synthesized signals to create new signals. Bilinear interpolation of both the vector \vec{h} and $e_g(l)$ of two signals in different velocities and applying

these new values to our prediction filter result in new synthesized signals, so that we create signal data for audio signals at different force and velocities.

2.1.2 Signal Generation from Major Frequencies

The other method for signal generation is using rich and valuable information of signals' high frequencies. The frequency of the vibration must change as the users change their force and so that their velocity. This is one of the realistic methods for interpolation between signals recorded under different velocities.

At first we determine the number of the frequencies we are going to deal with for synthesizing new signals. This is done in a similar way to order selection of a prediction filter in the previous section. For our case we choose 10 for the optimum frequency value.

In order to find the major frequencies, we calculate the discrete Fourier transform of the two recorded data and find ten highest frequencies of the transformed signals. It is important here to ensure that selected frequencies should not be close to each other because the superposition of two pure tones with slightly different frequencies can lead to beats. Therefore we remove frequencies among selected ones with a difference less than 5 and choose new others under this condition.

2.2 Beispiel für eine Abbildung

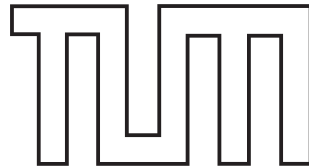


Figure 2.1: Beispiel für eine Beschriftung.

$$mRG = \beta \cdot \sum_{k=1}^K \sum_{l=1}^L \hat{\mathbf{X}}(k, l) \quad (2.7)$$

Durch die `\label` kann auf die Bilder mit `\ref` verwiesen werden (z.B. Abbildung 2.1).

2.3 Beispiele für Referenzen

Die Literaturhinweise werden im Text z.B. folgendermaßen verwendet:

“..., wie in [EV97] gezeigt, ...” oder “... es gibt mehrere Ansätze [Arn99, GLL90] ...”

2.4 Schrifttypen

Als Schrifttyp wird Arial oder Roman empfohlen. Bitte beachten, daß Größen und Einheiten eine eigene Schreibweise haben:

Kursivschrift: physikalische Größen (z.B. U für Spannung), Variablen (z.B. x), sowie Funktions- und Operatorzeichen, deren Bedeutung frei gewählt werden kann (z.B. $f(x)$)

Steilschrift: Einheiten und ihre Vorsätze (z.B. kg, pF), Zahlen, Funktions- und Operatorzeichen mit feststehender Bedeutung (z.B. sin, lg)

2.5 Archivierung

Für die Archivierung sind alle Dateien der Arbeit (auch der Vorträge) dem Betreuer zur Verfügung zu stellen. Weiterhin soll noch ein BibT_EX-Eintrag der Arbeit erstellt werden (die Felder in eckigen Klammern sind dabei auszufüllen):

```
@MastersThesis{<Nachname des Autors><Jahr>,  
  type =          {<Art der Arbeit>},  
  title =         {{<Thema der Arbeit>}},  
  school =        {Institute of Communication Networks~(LKN),  
                   Munich University of Technology~(TUM)},  
  author =        {<Nachname des Autors>, <Vorname des Autors>},  
  annote =        {<Nachname des Betreuers>, <Vorname des Betreuers>},  
  month =         {<Monat>},  
  year =          {<Jahr>},  
  key =           {<Mehrere Suchschlüssel>}  
}
```

Chapter 3

Zusammenfassung

Am Schluß werden noch einmal alle wesentlichen Ergebnisse zusammengefaßt. Hier können auch gemachte Erfahrungen beschrieben werden. Am Ende der Zusammenfassung kann auch ein Ausblick folgen, der die zukünftige Entwicklung der behandelten Thematik aus der Sicht des Autors darstellt.

Appendix A

Ein Beispiel für einen Anhang

Beispiel für eine Tabelle:

Table A.1: Beispiel für eine Beschriftung. Tabellenbeschriftungen sind üblicherweise über der Tabelle platziert.

left	center	right
entry	entry	entry
entry	entry	entry
entry	entry	entry

List of Figures

2.1	Beispiel für eine Beschriftung.	4
-----	---	---

List of Tables

A.1	Beispiel für eine Beschriftung. Tabellenbeschriftungen sind üblicherweise über der Tabelle platziert.	8
-----	---	---

Bibliography

- [Arn99] B. St. Arnaud. Gigabit Internet to every Canadian Home by 2005. <http://www.canet2.net/archeng/home.html>, 1999.
- [Dur60] J. Durbin. The fitting of time-series models. *Revue de l'Institut International de Statistique / Review of the International Statistical Institute*, 28(3):233–244, 1960.
- [EV97] J. Eberspacher and H.-J. Vogel. *GSM - Global System for Mobile Communication. Vermittlung, Dienste und Protokolle in digitalen Mobilfunknetzen*. Teubner, Stuttgart, 1997.
- [GLL90] J. S. Griswold, T. L. Lightle, and J. G. Lovelady. Hurricane Hugo: Effect On State Government Communications. *IEEE Communications Magazine*, 28(6):12–17, 1990.
- [JMRK10] Takashi Yoshioka Joseph M. Romano and Katherine J. Kuchenbecker. Automatic filter design for synthesis of haptic textures from recorded acceleration data. *In Proceedings, IEEE International Conference on Robotics and Automation*, pages 1815–1821, May 2010.